

1. Neural Dynamics for Facilitating ADHD Diagnosis in Preschoolers: Central and Parietal Delta Synchronization in the Kiddie Continuous Performance Test. DOI: 10.1109/TNSRE.2021.3097551
2. BCI-based hit-loop agent for human and AI robot co-learning with AIoT application. DOI: 10.1007/s12652-021-03487-0
3. Atypical functional connectivity during rest and task-related dynamic alteration in young children with attention deficit hyperactivity disorder: An analysis using the phase-locking value. DOI: 10.1111/pcn.13344/full
4. How does emoji feedback affect the learning effectiveness of EFL learners? Neuroscientific insights for CALL research. DOI: 10.1080/09588221.2022.2126498
5. How online travel agencies' logo design promotes purchase intention: a behavioral and neuroscientific interpretation of consumers' construal level. DOI: 10.1080/10941665.2023.2187701
6. Verifying the Efficacy of a Tactile Perceptual Discrimination Stimulation Approach for Individuals with Finger Sensorimotor Dysfunction: A Case Report and Literature Review. DOI: 10.29011/2574-7754.101950
7. Time synchronization between parietal frontocentral connectivity with MRCP and gait in post-stroke bipedal tasks. DOI: 10.1186/s12984-024-01330-z
8. Utilizing the n-back Task to Investigate Working Memory and Extending Gerontological Educational Tools for Applicability in School-aged Children. DOI: 10.21219/jitam.2024.31.1.177
9. Near-zero phase-lag hyperscanning in a novel wireless EEG system. DOI: 10.1088/1741-2552/ac33e6
10. A Differentiable Dynamic Model for Musculoskeletal Simulation and Exoskeleton Control. DOI: 10.3390/bios12050312
11. Neurological Evidence of Diverse Self-Help Breathing Training With Virtual Reality and Biofeedback Assistance: Extensive Exploration Study of Electroencephalography Markers. DOI: 10.2196/55478
12. Multi-Parameter Physiological State Monitoring in Target Detection Under Real-World Settings. DOI: 10.3389/fn-hum.2021.785562
13. Neural Dynamics of Target Detection via Wireless EEG in Embodied Cognition. DOI: 10.3390/s21155213
14. Frontoparietal Dysconnection in Covert Bipedal Activity for Enhancing the Performance of the Motor Preparation-Based Brain-Computer Interface. DOI: 10.1109/TNSRE.2022.3217298
15. The Latency of Auditory Event-Related Potential P300 Prolonged in School-Age Students with Unilateral Hearing Loss in a Mandarin Learning Environment. DOI: 10.1353/aad.2024.a927612
16. Representing scents: An evaluation framework of scent-related experiences through associations between grounded and psychophysiological data. DOI: 10.1016/j.ijhcs.2024.103357
17. Temporal Alpha Dissimilarity of ADHD Brain Network in Comparison With CPT and CATA. DOI: 10.1109/TNSRE.2024.3360137
18. Intertitles and Attention in Social Media Video Advertisements: An Intertitles and Attention in Social Media Video Advertisements: An Exploration of EEG Viewpoints.
19. Consumer-Grade Electroencephalography Devices for the Diagnosis of Neurodevelopmental Disorders in Youth. DOI: 10.18103/mra.v13i3.6427
20. The utility of wearable electroencephalography combined with behavioral measures to establish a practical multi-domain model for facilitating the diagnosis of young children with attention-deficit/hyperactivity disorder. DOI: 10.1186/s11689-024-09578-1
21. Electrophysiological functional connectivity and complexity reflecting cognitive processing speed heterogeneity in young children with ADHD. DOI: 10.1016/j.psychres.2024.116100
22. The Utility of a Novel Neuropsychological Measurement to Analyze Event-Related Attentional Behaviors among Young Children with Attention Deficit Hyperactivity Disorder— a Pilot Study. DOI: 10.1093/arclin/aca055

株式会社クレアクト

〒141-0022
東京都品川区東五反田1-8-13 五反田増島ビル4階
☎03-3442-5401 ✉info@creact.co.jp

 **Creect**

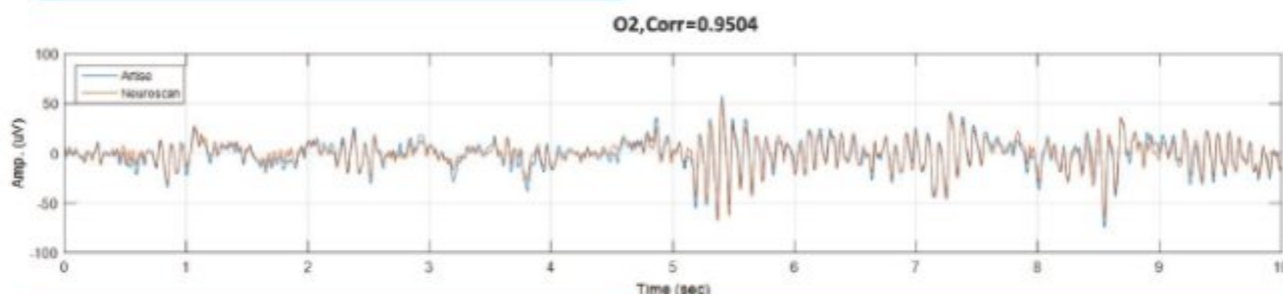
ブレインヘルス アセスメント ソリューション

EEG脳波信号解析と分類

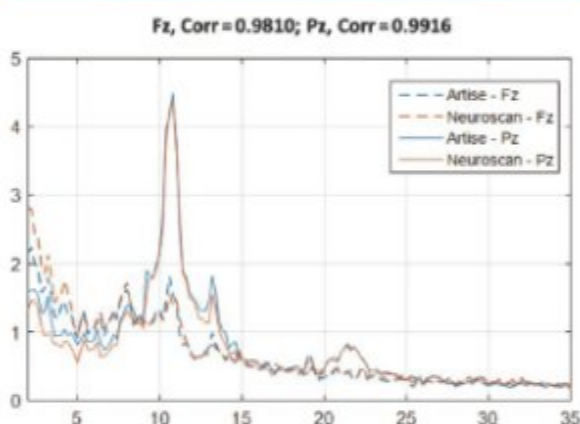
 **ArtiseBiomedical**
亞堤仕生醫科技

Artise Biomedicalの脳波計測ソリューションは、乾式・ワイヤレスEEG技術とAI解析を融合した次世代ニューロテクノロジーです。従来の湿式電極に比べ、より手軽で快適な脳波計測を実現し、集中度・情動バランス・脳領域間の協調性など多面的な脳波指標を可視化。研究・教育分野はもちろん、デジタルウェルネスや脳の健康管理、パフォーマンス向上まで幅広い用途に対応し、医療、教育、行動研究、デジタルウェルネス分野におけるBCI技術を、より身近に活用できるソリューションを提供します。

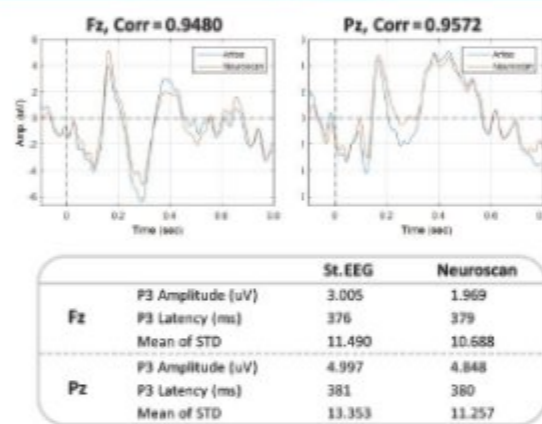
閉眼時のα派発生の時系列変化の比較



周波数スペクトル解析の比較



ERP(ターゲット)の抽出の比較



ワンストップBCI StEEG Altaire

乾式・準備不要のセンサ、小型アンプ、無線伝送機能を備えた8チャンネルのウェアラブルEEGシステムです。電極位置はFp1、Fp2、Fz、T7、T8、Pz、O1、O2の8か所。従来の湿式電極システムと同等の信号品質を提供しながら、皮膚のスクレイピングや準備作業を必要としません。



快適性

安定性

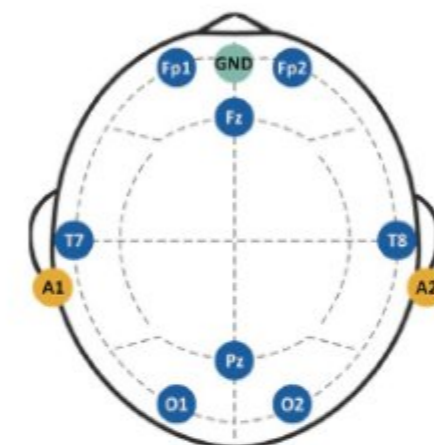
柔軟性

適用性

仕様諸元

チャンネル数	8チャンネル+ 2 REF + 1 GND
サンプリングレート	1000 Hz
分解能	24 bits
帯域幅	DC to 125 Hz
フィルタリング	50/60 Hzノッチフィルタ(ソフトウェア)
ダイナミックレンジ	+/- 375 mV
通信方式	専用レシーバ
出力ファイル形式	CSV, EDF
データ変換	RAW, BAND POWER, Z-CORE
バッテリー	充電式リチウムポリマー電池 500 mAh
連続動作時間	12時間
イベント入力端子	RS232
イベントジッタ	±1 ms
対応OS	Windows

センサ配置



*T7/T8→C3/C4配置へのカスタム可能

ワンストップBCI StEEGシリーズ



Altaire (アルタイル)

ウェアラブル8チャンネル乾式ワイヤレスEEGシステムです。取り扱いは簡単で、全年齢対象です。高精度なEEG研究の為にイベントマーカ対応です。



Satellite/Gemini (サテライト/ジェミニ)

8チャンネルハイパースキャンニングワイヤレスEEGキャップシステムです。EEG、ECG、EMGの切替式計測モードで、AltaireやVegaと統合したマルチモーダルシステムです。



Sirius/Vega (シリウス/ベガ)

20/32チャンネルワイヤレスEEGキャップシステムです。ゲル不使用の快適性が改善されたスポンジ電極です。3才以上を対象とする各種キャップがございます。



Cygnus/Cynosoura (キグナス/シノソウラ)

データ計測とニューロフィードバックトレーニングソフトウェアです。プレポスト処理とリアルタイムLSLストリーミングに対応。サードパーティ開発と統合を可能にするSDKツールキットです。

ワンストップBCI ゲル不要 多極式EEG脳波計システム

ゲル不要のStEEGシリーズは、先進的なBCI活用の為の高品質な脳波信号を提供する次世代システムです。

- 革新的なユースシナリオに対応する8/20/32チャンネル着脱式ケーブル構成
- 専用RFワイヤレス通信によるリアルタイム生データストリーミング
- 革新的なゲル不要設計は、子どもから大人まで安定した長時間計測が可能



快適

ゲル不要のスポンジセンサと食塩水により、快適で使いやすい計測を実現します。



簡単

直観的なデザインでセットアップもトレーニングも短時間。誰でも簡単に、効率よく操作できます。



着脱式

ワイヤレスアンプとフルブープ設計のコネクタにより、誰でも安心して装着でき、柔軟な使用シーンに対応します。



S3キャップ

20/32チャンネル電極配置



S2キャップ

国際10-20法配置から任意の8か所計測



電極ケーブル

オプションでECGやEMGが計測可能(8chアンプのみ)

アクセサリ/サポート

電極、ケーブル、キャップ、アダプタ、製品カスタマイズ、システムインテグレーション

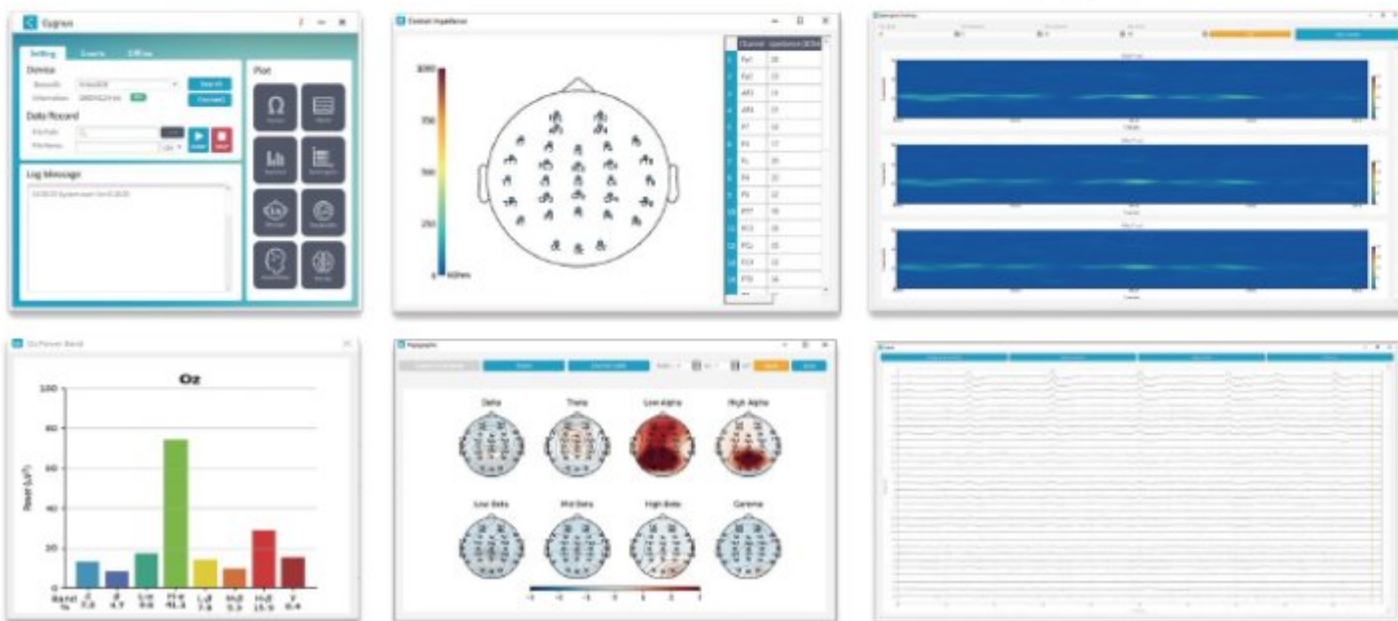


チャンネル数	20/30	8
サンプリングレート(Hz)	500	1000
帯域幅(Hz)	DC - 125	DC - 262
分解能 (Bits)	24	24
ダイナミックレンジ(mV)	+/- 375	+/- 375
通信	2.4G	2.4G
バッテリー	3.7V, 900 mAh	3.7V, 500 mAh
連続動作時間	8時	12時間
イベント入力端子	RS232	RS232
イベントジッタ	± 2 ms	± 1 ms
オプションモード	無	可(ECG / EMG)
ハイパースキャンニング	無	可

ygnus オールインワンEEGソフトウェア

Python ベースで構築された、ニューロサイエンス研究・教育向けソリューション

- ERP (事象関連電位)実験に最適
- データ前処理ツール搭載
- シームレスリアルタイムアプリケーションを可能にするネイティブLab Streaming Layer (LSL)出力



キャップ



型番	GT_SS	GT_S3/GT_S2	GT_SD
電極タイプ	ゲル	スポンジ(セミドライ)	乾式
チャンネル数	20/32	20/32	64
サイズ	XS (46-50) / S(50-54) / M(54-58) / L(58-62)		
コネクタ形式	DIN 1.5mm ワンタッチコネクタ		

電極



型番	GT_SP (スポンジ)	ST_PPM (ポゴピン)	GT_ACF (フラット)	GT_ACM (くし形)
導電体	食塩水	Au	AgCl	AgCl
Size	—	S / L	—	S / L
接続	専用ホルダ	ボタンスナップ	ボタンスナップ	ボタンスナップ

アダプタ



型番	ST_3MS2D	ST_3MS22	ST_3MS32	ST_3MS33
チャンネル数	8ch補助	8ch EEG脳波	20ch EEG脳波	32ch EEG脳波

ケーブル



型番	GT_DNAC	GT_DNBN	ST_AJDS	GT_DNSP	ST_OPBN
タイプ	Ag/AgCl皿	ボタンスナップ	1リード補助	スポンジホルダ	着脱式

Cynosouraは研究向けのバイオ/ニューロフィードバックトレーニングソフトウェアです。

専門家が設計した専門家の為のツール

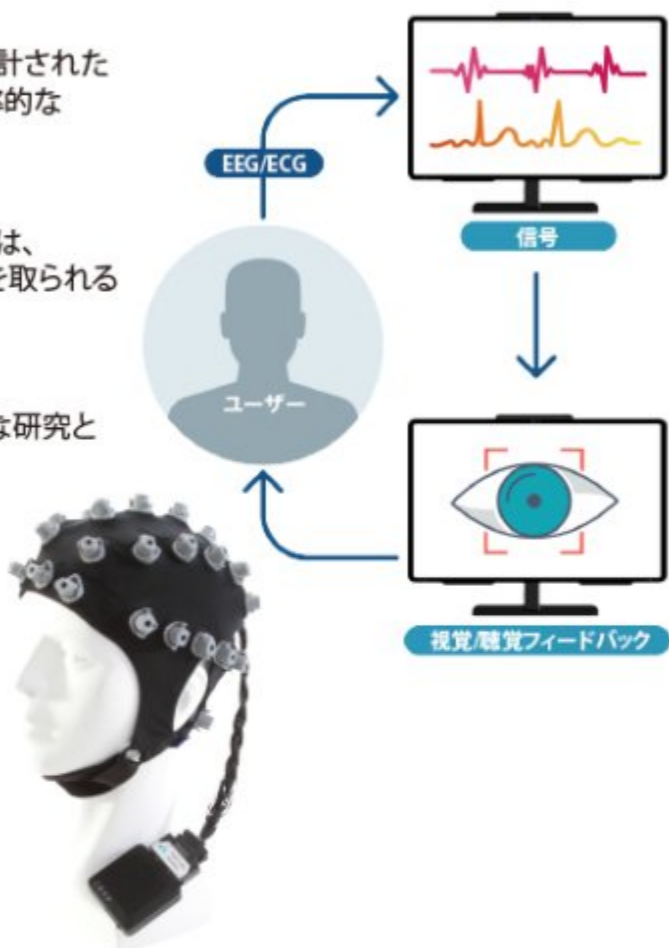
経験豊富なニューロフィードバックトレーナーによって設計されたCynosouraは、専門家のニーズに合わせて、正確かつ効率的なトレーニングを提供します。

直観的で今風のインターフェース

高いユーザビリティを備えた洗練された今風な画面設計は、スムーズな操作を実現し、トレーナーは複雑な操作に気を取られることなく、効果的なトレーニングに集中できます。

先進的な統合されたパラメータ

QEEG、LORETA、HRV指標を統合したCynosouraは、高度な研究と臨床応用の両方に包括的なツールキットを提供します。

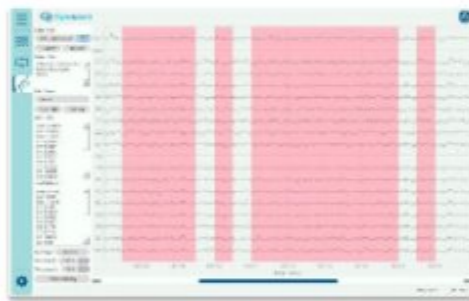


機能・特長



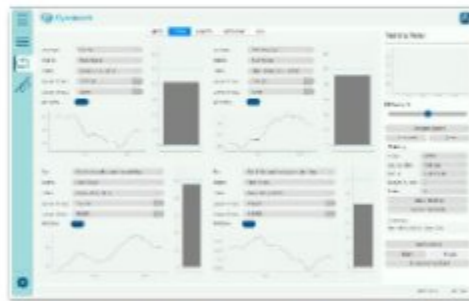
高度な脳波信号表示

高度なAST(自動アーチフェクト除去)機能によりクリーンで信頼性の高いデータ表示が可能です。



標準化されたデータ編集

合理化されたツールが一貫した正確な結果を提供します。



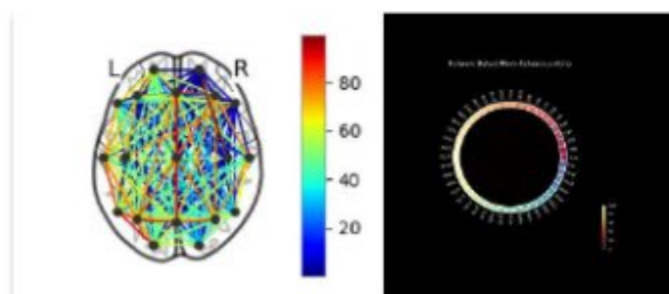
QEEGからネットワークまで

トレーニング目的達成のための包括的分析ができます。



対話型フィードバック画面

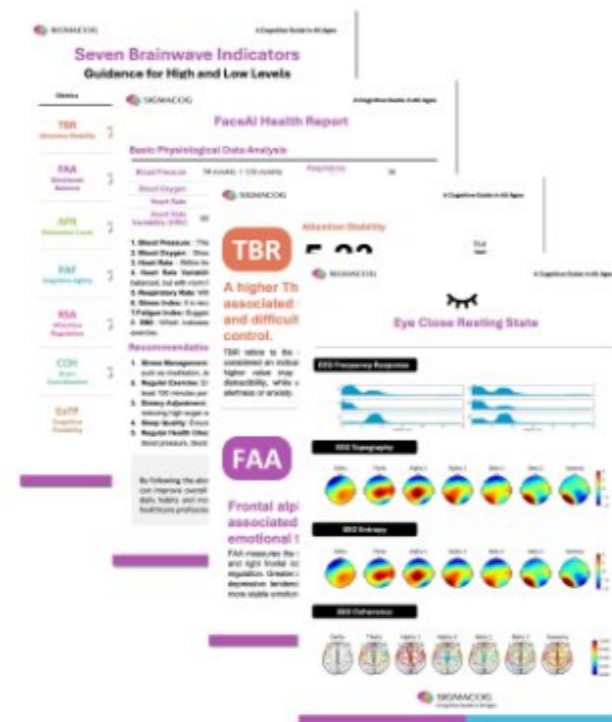
ユーザーのやる気を促進する従来型の設計



多様なデータ出力

研究を加速する多様な出力オプション

全年齢向け認知指標ガイド



迅速で効率的なレポート

わずか5分でのブレインヘルスレポートが完成

基準参照型の指標

全年齢層向けに7つのEEGベース認知指標を比較

AIによるブレインヘルス計画

AIによって生成される個別化した推奨

研究機関向けのカスタムレポート

研究機関の要望に合わせてレポート内容を準備



計測



オンライン解析



ブレインヘルスレポート